

**О НЕКОТОРЫХ МЕТОДАХ ЧИСЛЕННОГО РЕШЕНИЯ ОДНОЙ ЗАДАЧИ
ПРОСТРАНСТВЕННОЙ НЕУСТАНОВИВШЕЙСЯ ФИЛЬТРАЦИИ**
Л. М. Плещакова, В. Г. Пряжинская (Новосибирск)

Изучается краевая задача в области D ($0 \leq x_1 \leq a$, $0 \leq x_2 \leq a$),

$$\frac{\partial h}{\partial t} = \frac{k}{m} \left[\frac{\partial}{\partial x_1} \left(h \frac{\partial h}{\partial x_1} \right) + \frac{\partial}{\partial x_2} \left(h \frac{\partial h}{\partial x_2} \right) \right] \quad (0 \leq t \leq T) \quad (1)$$

$$h(x_1, x_2, 0) = H_0, \quad h(0, x_2, t) = h(x_1, 0, t) = H_1, \quad h(x_1, a, t) = h(a, x_2, t) = H_0 \quad (2)$$

Задача (1), (2) описывает неустановившееся движение грунтовых вод со свободной поверхностью в слое конечной глубины над горизонтальным непроницаемым основанием без учета инфильтрации или испарения со свободной поверхности; через k и m в формуле (1) обозначены коэффициенты фильтрации и водоотдачи грунта, $h(x_1, x_2, t)$ — напор грунтовых вод в точке (x_1, x_2) в момент времени t . Для этой задачи со слабой нелинейностью проведено исследование двух неявных разностных схем.

1-я схема известна как локально-одномерный метод переменных направлений [1], теория его разработана достаточно полно. Для задачи (1), (2) эта схема такова. В каждый момент времени $t_{j+i/2}$, $i = 1, 2, \dots, K$, $\tau = T/K$, решается уравнение

$$\frac{\partial h_1}{\partial t_1} = \frac{\partial}{\partial x_i^*} \left(h_1 \frac{\partial h_1}{\partial x_i^*} \right) \quad \left(h_1 = \frac{h}{H_0}, \quad x_i^* = \frac{x_i}{A}, \quad t_1 = \frac{t}{B}, \quad B = \frac{mA^2}{k \langle h \rangle}, \quad A = 10^3 \right) \quad (3)$$

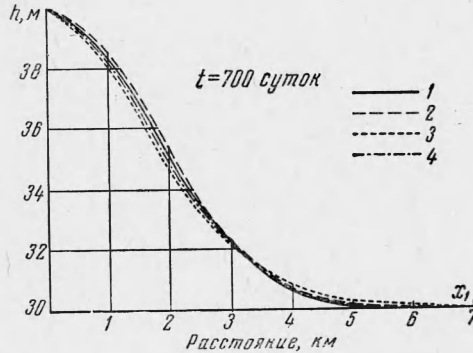
($\langle h \rangle$ — некоторое среднее значение напора).

В качестве граничных условий используются значения краевых функций в точках пересечения прямых, параллельных оси Ox_i , с границей области интегрирования, а в качестве начальных значений берутся величины, полученные при счете предыдущего слоя. Вторая переменная x_j ($j \neq i$) входит в уравнение в качестве параметра. Решение конечно-разностного аналога уравнения (3) обозначим через $z = z(x_1, x_2, t)$, при этом

$$z(x_1^{i_1}, x_2^{i_2}, t_j) = z_{i_1 i_2}^j = z_{i_1 i_2 j}$$

Локально-одномерная трехточечная разностная схема второго порядка точности [1] для уравнения (3) имеет вид

$$\begin{aligned} \frac{1}{\tau} (z_{i_1 i_2}^{j+1/2} - z_{i_1 i_2}^j) &= \Lambda_1 z_{i_1 i_2}^{j+1/2} \\ \frac{1}{\tau} (z_{i_1 i_2}^{j+1} - z_{i_1 i_2}^{j+1/2}) &= \Lambda_2 z_{i_1 i_2}^{j+1} \end{aligned} \quad (4)$$



Фиг. 1

Здесь Λ_i — оператор, аппроксимирующий исходный дифференциальный оператор

$$\frac{\partial}{\partial x_i} \left(h \frac{\partial h}{\partial x_i} \right) \rightarrow \Lambda_i z = \frac{z^{+1} (z^{+1} - z) - z (z - z^{-1})}{h_i^2}, \quad \begin{aligned} x_i^{\pm mi} &= x_i \pm mh_i \\ z^{\pm mi} &= z(x_i^{\pm mi}) \end{aligned}$$

h_i — шаг по пространственной переменной.

2-я схема разработана на основе метода, предложенного в [2] для уравнения теплопроводности. Уравнение (1) приводится к виду

$$\frac{\partial h^2}{\partial t} = \frac{kh}{m} \left[\frac{\partial^2 h^2}{\partial x_1^2} + \frac{\partial^2 h^2}{\partial x_2^2} \right] \quad (5)$$

В схеме 2, наряду со значениями аппроксимирующей функции z , на j -м и $(j+1)$ -м слоях по времени, согласно [2], вводится некоторое промежуточное решение $Z_{i_1 i_2, j+1}$ задачи (что соответствует введению промежуточного слоя $j + 1/2$ в схеме 1). Уравнение (5) заменяется следующей системой конечно-разностных соотношений:

$$\frac{1}{\tau} (Z_{j+1}^{2*} - Z_j^2) = \frac{k}{m} z_j (\Delta_{x_1}^2 Z_{j+1}^2 + \Delta_{x_2}^2 z_j) \quad (6)$$

$$\frac{1}{\tau} (z_{j+1}^2 - Z_{j+1}^2) = \frac{k}{m} Z_j (\Delta_{x_1}^2 z_{j+1}^2 - \Delta_{x_2}^2 z_j^2), \quad \Delta_{x_i}^2 z_j = \frac{z_{i+1, j} - 2z_{i, j} + z_{i-1, j}}{h_i^2}$$

Сходимость и устойчивость соответствующей линейной схемы доказана в [2]. Устойчивость нелинейной схемы (6) проверялась практически.

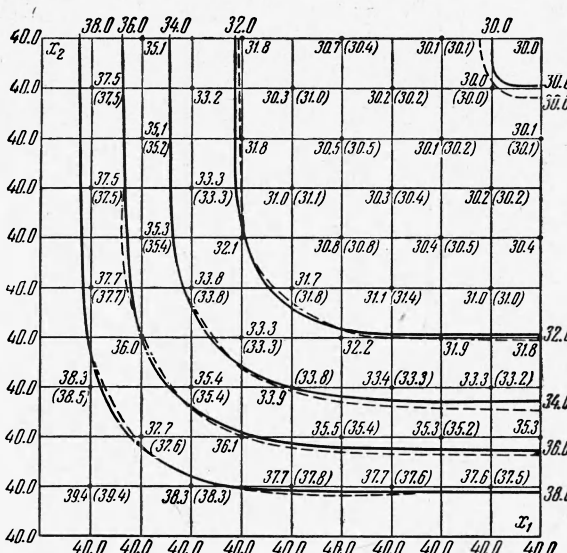
Поведение схем 1 и 2 изучено на линеаризованном уравнении (1) вида

$$\frac{\partial h_1}{\partial t_1} = \frac{\partial^2 h_1}{\partial X_1^2} + \frac{\partial^2 h_1}{\partial X_2^2} \quad (7)$$

для которого известно точное решение [3], при начальных и граничных условиях, заданных в [4], где задача (7), (2) решена в качестве примера по явной разностной схеме при $k = 5 \text{ м/сутки}$, $m = 0.06$, $\langle h \rangle = H_0 = 30 \text{ м}$, $H_1 = 40 \text{ м}$, $\tau = 100 \text{ суток}$, $h_1 = h_2 = 1000 \text{ м}$, $a = 10\,000 \text{ м}$. Точное решение задачи (7), (2) выражается формулой

$$h(x_1, x_2, t) = H_1 - (H_1 - H_0) \Phi(x_1 / 2a\sqrt{t}) \Phi(x_2 / 2a\sqrt{t})$$

Здесь Φ — интеграл вероятности. Приведены расчеты по этой формуле, а также по схемам (4) и (6) при указанных начальном и граничных условиях. На фиг. 1 нанесены диагональные сечения таблиц уровней грунтовых вод в момент времени



Фиг. 2

твоях, вид в момент времени $t = 700$ суток, при этом для сравнения приведены расчеты по явной схеме [4]; на фиг. 1 кривая 1 — соответствует точному решению, 2 — явной схеме, 3 — второй схеме, 4 — первой схеме. Наиболее близкое совпадение с точным решением дают расчеты по первой схеме. Явный метод можно было бы предпочесть в силу простоты расчетов, однако он имеет, как известно, существенный недостаток, а именно — необходимость сильных ограничений на сетку. В [4], например, $\tau / h_i^2 = 10^{-4}$. Между тем, в задачах рассмотренного типа требуется рассчитывать поведение свободной поверхности грунтового потока за длительные промежутки времени, поэтому ограничение на шаг по времени особенно стеснительно. Неявные методы свободны от этого недостатка и удобны для точки зрения программирования. Обе схемы применимы при условии $h(x_1, x_2, t) \geq c_0 > 0$.

Нелинейные уравнения (4), (6) при начальном и граничных условиях (2) решались итерациями следующего вида. За начальное приближение в коэффициентах выбирались значения функции с предыдущего слоя, и методом прогонки вычислялось первое приближение искомой функции. Значение ее вновь засыпалось в коэффициенты, и производилось вычисление второй итерации, и так далее до достижения заданной точности счета.

На фиг. 2 нанесены линии уровней поверхности грунтовых вод, вычисленные по схемам 1 и 2 (сплошной и пунктирной линиями соответственно), выписаны также отметки уровней в отдельных узлах сетки (значения в скобках соответствуют схеме 2).

Расхождения значений вычислений по обеим схемам невелики и убывают со временем. Это обосновывает возможность применения схемы 2, которая при решении задачи (7), (2) оказалась более экономичной в отношении счета.

Поступила 20 II 1964

ЛИТЕРАТУРА

- Самарский А. А. Об одном экономичном разностном методе решения много-мерного параболического уравнения в произвольной области. Ж. вычисл. матем. и матем. физ., 1962, т. 2, № 5, стр. 787—811.
 - Douglas J., Rachford H. H. On the numerical solution of heat conduction problems in two and three space variables. Trans. Amer. Math. Soc., 1956, vol. 82, No. 2, p. 421—439.
 - Полубаринова-Кочина П. Я. Теория движения грунтовых вод. Госиздат, 1952, гл. 14, § 10.
 - Каменский Г. Н. Методика прогноза изменений режима грунтовых вод. Сб. статей по гидрогеологии. Изд-во АН СССР, 1958, т. 20, стр. 29—55.